

BOLETÍN OCEANOGRÁFICO

Semana 5: 29 de enero - 04 de febrero 2024

Jessica Bonicelli Proaño, Adrián Bustamante Maino
Departamento de Oceanografía y Medio Ambiente (DOMA)

De acuerdo a la escala regional, la Anomalía de Temperatura Superficial del Mar (ATSM) de la región Niño 1+2 (**Figura 1**) mantuvo la tendencia decreciente desde agosto, mes en el que se registró el valor máximo ($3,3^{\circ}\text{C}$) del periodo entre enero 2022 y enero 2024. Aun así, los valores se han mantenido positivos desde febrero 2023 hasta la fecha, a diferencia del año 2022, que se registraron anomalías negativas en todo el año. Los modelos de pronóstico, publicados en el último boletín de la NOAA indican, con una probabilidad del 79%, una transición de El Niño a una condición neutral en abril-junio de 2024 (NOAA, 2024).

En la zona norte (**Figura 1a**), la serie de tiempo de ATSM promedio del sector costero de la subzona sur ($21^{\circ}\text{S} - 24^{\circ}\text{S}$) mostró un aumento durante la semana 5 del año 2024 que se ha venido observando desde la semana anterior, alcanzando una ATSM positiva de alta intensidad en el último día de la semana ($1,8^{\circ}\text{C}$). Mientras que, en la subzona norte ($18,26^{\circ}\text{S} - 21^{\circ}\text{S}$) las ATSM fueron cercanas a cero y disminuyeron en relación a la semana anterior. La ATSM promedio de la semana 5 (**Figura 1a, panel derecho**) mostró una alta cobertura de valores positivos en el sector costero de la subzona sur, a diferencia de la subzona norte, donde predominaron ATSM neutrales y focos aislados de ATSM negativas y positivas.

En la zona centro-norte (**Figura 1b**), las series de tiempo de ATSM promedio del sector costero de las subzonas norte ($24^{\circ}\text{S} - 28^{\circ}\text{S}$) y sur ($28^{\circ}\text{S} - 32^{\circ}\text{S}$) mostraron un aumento desde la semana 3 del año 2024 hasta la fecha, alcanzando un promedio positivo, pero cercano a cero, en ambas subzonas durante la semana 5. La ATSM promedio de la semana 5 (**Figura 1b, panel derecho**) mostró una alta cobertura espacial de ATSM negativas en el sector oceánico, mientras que en el sector costero predominaron las ATSM cercanas a cero con focos aislados de valores positivos de baja intensidad.

En la zona centro-sur (**Figura 1c**) la ATSM promedio del sector costero mostró un aumento desde la semana 3 hasta la fecha, alcanzando valores neutrales en la subzona sur (promedio semana 5 = $-0,23$) y positivos de alta intensidad en la subzona norte (promedio semana 5 = 1°C). En el mapa de distribución de ATSM promedio de la semana 5 (**Figura 1c, panel derecho**) se observó que las anomalías positivas cubrieron todo el sector costero de la subzona norte, mientras que, en la subzona sur se observaron ATSM neutrales con focos aislados de valores negativos de baja intensidad. Cabe resaltar la alta cobertura de ATSM negativas al noroeste de Punta Lavapie (37°S), lo que indica la presencia de un foco de surgencia en esa zona.

En la zona sur (**Figura 1d**), en el mar interior, se observó un aumento de la ATSM promedio durante la semana 5 en ambas subzonas, llegando a alcanzar valores positivos de alta intensidad el último día de la semana (subzona norte = $1,44^{\circ}\text{C}$; subzona sur = $1,94^{\circ}\text{C}$). El mapa de distribución muestra una amplia cobertura de ATSM positivas en el sector oceánico mientras que, en el mar interior, se observó una alta cobertura de valores neutros, pero con focos de ATSM positivas en sus extremos, norte y sur (**Figura 1d, panel derecho**).

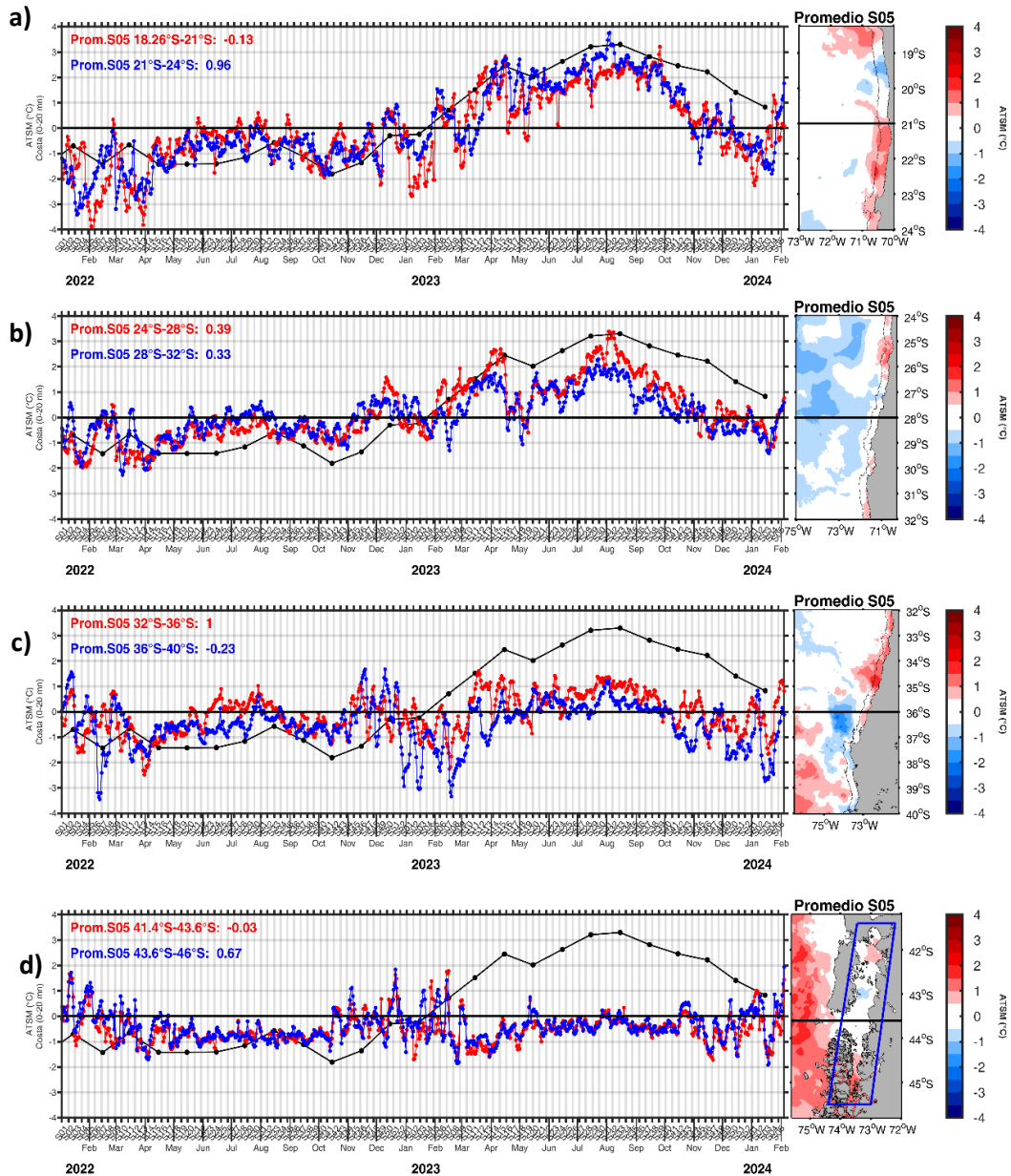


Figura 1. Series de tiempo diarias del promedio de la ATSM registrada en las primeras 20 mn de distancia a la costa (paneles izquierdos), de las subzonas norte (línea roja) y sur (línea azul) para la zona norte (a), centro-norte (b), centro-sur (c) y sur (d) de Chile. En cada panel izquierdo se muestra la serie de tiempo mensual de la ATSM de la región Niño 1+2 (línea negra) y se incluye el promedio de la semana 5 de ATSM de cada subzona. Distribución espacial de la ATSM promedio de la semana 5 (paneles derechos) para las zonas norte (a), centro-norte (b), centro-sur (c) y sur (d) de Chile. En cada panel derecho se muestra la división de las subzonas norte y sur con una línea negra horizontal, además de las primeras 20 mn de distancia a la costa (sector costero) con una línea negra punteada (a,b,c) y el mar interior con un recuadro azul (d). La información de ATSM fue extraída del producto MUR, calculadas en base a la climatología de TSM satelital del periodo 2002 – 2013.

Referencias

NOAA, 2024. El Niño/Oscilación del sur (ENOS), discusión diagnóstica. 8 de febrero de 2024.
https://origin.cpc.ncep.noaa.gov/products/analysis_monitoring/enso_disc_feb2024/ensodisc_Sp.pdf